

*ТАРАБАРИН В.Б.*

Т Е С Т О ВЫСШЕГО РЕДКОГО СПЕЦИ

Бесплатно.

Московское  
ордена Ленина и ордена Трудового Красного Знамени  
высшее техническое училище им. Н. Э. Баумана

---

Для служебного пользования  
Экз № 70

З А Д А Н И Я  
для курсового проекта  
по теории механизмов

Выпуск 5

Министерство высшего и среднего специального образования СССР

Московское ордена Ленина и ордена Трудового Красного Знамени  
высшее техническое училище имени Н.Э.Баумана

---

Для служебного  
пользования

ЗАДАНИЯ  
для курсового проекта по теории механизмов

Выпуск 5

Под редакцией А.С.Мастюковой

Задания для курсового проекта по теории механизмов издаются  
в соответствии с учебным планом.

Рассмотрены и одобрены кафедрой 24/ХЛ-74 г., Методической  
комиссией факультета и Учебно-методическим управлением.

Задания, включенные в настоящий выпуск, составили препода-  
ватели:

доц. Королев А.А., доц. Мастрюкова А.С. (задания № 78, 74);  
доц. Мастрюкова А.С., доц. Ремезова Н.Е. (задание № 75);  
доц. Архангельская Т.А., доц. Мастрюкова А.С. (задание № 76);  
доц. Лукичев Д.М. (задание № 77);  
доц. Мастрюкова А.С., доц. Митриев И.М. (слушатель факультета  
повышения квалификации при МВТУ) (задание № 78).

Корректор А.И.Малытина

Задача № 4

Объем 2 1/4 л.  
Бесплатно

Тираж 75 экз.  
Печ. 1976 г.

Редактор МВТУ. 107005, Москва, Б-5, 2-я Бауманская, 5.

### ЗАДАНИЕ № 73

#### ПРОЕКТИРОВАНИЕ И ИССЛЕДОВАНИЕ МЕХАНИЗМОВ УПРАВЛЕНИЯ ЛЕТАЕЛЬНОГО АППАРАТА С УГОЛКОВЫМИ СОПЛАМИ

Корректировка траектории полета летательного аппарата производится за счёт изменения направления потока газов, выходящих из уголковых сопел. Схема расположения уголковых сопел и их привод представлены на рис. 73 а. Поворот подвижной части З уголкового сопла относительно неподвижной его части осуществляется с помощью механизмов управления. Направление поворота и величина угла поворота каждого из уголковых сопел могут быть различными, благодаря чему траектория полета может значительно меняться.

При необходимости изменения траектории полета соответствующий сигнал подается от автомата управления 9 на источник питания 8 (специальные батареи с устройством переключения полярности) электродвигателя 7. В зависимости от включения источника питания вал электродвигателя начинает вращаться в ту или иную сторону.

Движение от электродвигателя 7 через планетарный редуктор 6 (схема редуктора изображена на рис. 73 в) и в зубчатые колеса 5, 4 передается валу О, на котором закреплено звено I стержневого механизма ОАВС. Звено I, поворачиваясь на некоторый угол вокруг оси О, передает движение через матун 2 коромыслу 3, которое жестко связано с подвижной частью уголкового сопла. Начальное положение I уголкового сопла характеризуется отклонением звена 3 от нейтрального (вертикального) положения на угол 20° (рис. 73 а).

При повороте уголкового сопла из начального положения I в конечное положение II (рис. 73 б) на угол  $\varphi_3$  раб на звено 3 действует момент сопротивления  $M_{C3}$ , зависимость которого от угла поворота  $\varphi_3$  представлена диаграммой ( $M_{C3}, \varphi_3$ ) (рис. 73-г). Данные для построения диаграммы приведены в табл. 1а.

В начальном положении механизма приведенный к звену I мо-

мент электродвигателя в 1,7 раза больше приведенного момента сопротивления. Можно принять, что при повороте механизма величина приведенного движущего момента убывает по линейному закону. Электродвигатель должен обеспечить безударный останов узлового сопла в конечном положении. Выключение электродвигателя происходит в тот момент, когда узловое сопло (звено 3) повернется на угол

$$\varphi_3 = \frac{3}{4} \varphi_3 \text{ раб}$$

При проектировании и исследованиях механизмов управления считать известными параметры, приведенные в табл. 73-1.

В механизмах управления летательного аппарата отсутствует кулачковый механизм, проектирование которого провести по дополнительному заданию.

Примечания: I. Проектирование основного четырехшарнирного механизма ОАБС производится по двум крайним (мертвым) положениям механизма по заданному максимальному углу качания коромысла ВС ( $\Psi_{3\text{ макс}}$ ).

2. При определении закона движения механизма угол  $\varphi_3$  раб разделить на 8 равных интервалов.

### Таблица Iа

Значения момента сопротивления  $M_{c3}$  в долях от максимального момента  $M_{c3\max}$  в зависимости от положения звена 3

$\psi_3$ , град	0	5	10	15	20	25	30	35	40
$\frac{M_{C3}}{M_{C3 \text{ max}}}$	1,00	0,85	0,47	0,13	0	0,13	0,47	0,85	1,00

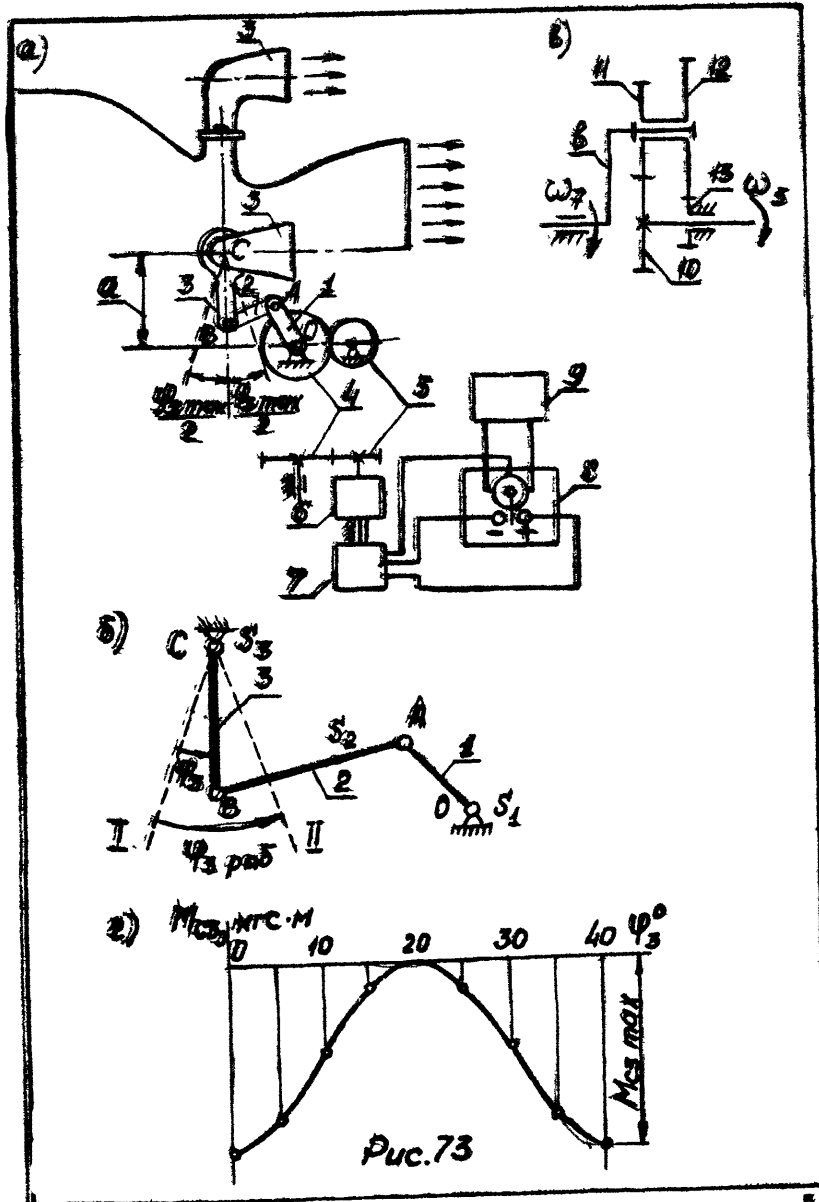


Таблица 73-1

№ пор.	Назначение параметра	Обозна- чение	Размер- ность	Числовые значения для вариантов					
				A	B	V	G	L	Г
1	2	3	4	5	6	7	8	9	
1	Максимальный угол по- ворота звена 3 (рис. 73а) (для проектирования механизма)	$\psi_3$ тах	град	45	45	45	45	45	45
2	Рабочий угол поворота звена 3 (рис. 73б) (из положения 1 в положение 0)	$\psi_3$ раб $L_{BC}$	град м	40 0,076	40 0,080	40 0,085	40 0,090	40 0,090	40 0,095
3	Длина коромысла 3	$L_{OC}$	м	0,13	0,12	0,14	0,15	0,16	0,16
4	Расстояние между точками О и С механизма	$Q$	м	0,09	0,09	0,10	0,10	0,10	0,11
5	Вертикальная проекция расстоя- ния между точками О и С	$L_{AB}$	-	0,40	0,42	0,44	0,43	0,45	0,45
6	Отношение расстояния от точки A до центра масс $J_2$ шатуна 2 к общей длине шатуна (рис. 73б)	$J_{AS}$	-	0,40	1,40	1,60	1,80	2,00	2,00
7	Вес коромысла 3 и углкового сопла	$G_3$ $G_4$	кгс кгс	0,60 1,30	0,55 1,40	0,65 1,35	0,70 1,50	0,75 1,45	0,75 1,45
8	Вес шатуна 2	$G_2$	кгс						
9	Вес балансира 1 и колеса 4	$G_1$	кгс						
10	Момент инерции звена 3 относи- тельно оси, проходящей через центр масс $J_3$ (рис. 73б)	$J_{35}$	кгс.м.сек <sup>2</sup>	0,0020	0,0022	0,0021	0,0024	0,0025	0,0025
11	Момент инерции шатуна 2 относи- тельно оси, проходящей через центр масс $J_2$	$J_{25}$	кгс.м.сек <sup>2</sup>	0,00024	0,00021	0,00023	0,00025	0,00026	0,00026

Продолжение табл.

1	2	3	4	5	6	7	8	9
12	Момент инерции балансира 1 и колеса 4 относительно оси, про- ходящей через центр масс $J_4$	$J_{15}$	кгс.м.сек <sup>2</sup>	0,00017	0,00016	0,00018	0,00020	0,00021
13	Момент инерции колеса 5 и при- веденные к нему 5 момента инер- ции планетарного редуктора и ротора двигателя	$J_5$	кгс.м.сек <sup>2</sup>	0,0005	0,0005	0,0006	0,0006	0,0006
14	Максимальная величина момента сопротивления, приложенного к балансир 3	$M_{3упол}$	кгс.м	1,0	1,2	0,8	1,1	0,9
15	Угловая координата балансира 3 для симметричного расчета (рис. 73б)	$Z_3$ $Z_4$	град мм	35 -	35 20	24 12	26 13	28 14
16	Число зубьев колес 4, 5	$Z_5$	мм	3	3	3	3	3
17	Модуль зубчатых колес 4, 5	$m_{6-10}$	-	-18	-20	-22	-18	-20
18	Передаточное отношение плане- тарного редуктора	K	-	3	3	3	3	3
19	Число сегментов в планетарном редукторе	$\alpha^*$ $ha^*$	град	20 1,0	20 1,0	20 1,0	20 1,0	20 1,0
20	Параметры исходного привода шестерни	C*	-	0,25	0,25	0,25	0,25	0,25

## ЗАДАНИЕ № 74

### ПРОЕКТИРОВАНИЕ И ИССЛЕДОВАНИЕ МЕХАНИЗМОВ УПРАВЛЕНИЯ ЛЕТАТЕЛЬНОГО АППАРАТА С КАЧАЮЩИМСЯ РАСТРУБОМ

Корректировка траектории полета летательного аппарата производится за счет изменения направления потока газов, выходящих из сопла II через раструб I (рис. 74а), который приводится в движение рулевой машиной. Механизм рулевой машины состоит из гидравлического цилиндра 3 с поршнем 2, шток которого шарнирно соединен с раструбом I. В нейтральном положении оси раструба и сопла совпадают. В зависимости от направления движения поршня раструб поворачивается относительно поперечной оси О по или против часовой стрелки, изменяя направление потока газов, выходящих из сопла. Если раструб поворачивается относительно нейтрального положения против часовой стрелки, то летательный аппарат повернется относительно поперечной оси по часовой стрелке.

Система управления содержит источник питания 9 (как правило электрического типа), который приводит в движение электродвигатель 8. Движение от электродвигателя через планетарный редуктор 7 (схема редуктора изображена на рис. 74б) передается одной из двух одиваковых шестерен масляного насоса 6, который подает масло в рабочие полости цилиндра 3 рулевой машины. Если клапаны 4 и 5 закрыты, то давление масла в левой и правой полостях одинаково, и поршень неподвижен. Если, например, необходимо повернуть летательный аппарат по часовой стрелке, то с автомата управления 10 подается сигнал на клапан 5 и он открывается; при этом часть масла, подаваемого в правую полость по трубопроводам, поступит обратно в шестеренный насос, давление в правой полости станет меньше, чем в левой, поршень переместится и повернет раструб против часовой стрелки. При необходимости повернуть летательный аппарат по часовой стрелке сигнал с автомата управления 10 подается на клапан 4.

При отсутствии сигналов управления и закрытых клапанах 4 и 5 давление в рабочих полостях цилиндра 3 может превысить расчётное.

В этом случае открываются предохранительные клапаны I2, сбрасывающие масло в полость шестеренного насоса 6.

При повороте раструба из одного крайнего положения (I) в другое (II) (рис. 74а) на угол  $\varphi_1$  max на звене I действует момент сопротивления  $M_{C1}$ , зависимость которого от угла поворота  $\varphi_1$  представлена диаграммой ( $M_{C1}, \varphi_1$ ) (рис. 74в). Данные для построения диаграммы приведены в табл. Ia.

Результирующее давление в гидроцилиндре меняется по закону, изображенному на рис. 74г. Давление  $p'$  при повороте раструба на угол  $\varphi_1 = 0 - 15^\circ$  должно обеспечить величину приведенного движущего момента в начальном положении механизма в 1,2 раза больше  $M_{C1}$  max. Останов раструба в конечном положении II должен происходить без удара.

При проектировании и исследовании механизмов рулевой машины считать известными параметры, приведенные в табл. 74-1.

В механизмах управления летательного аппарата отсутствует кулачковый механизм, проектирование которого провести по дополнительному заданию.

Примечание. При определении закона движения механизма угол поворота раструба  $\varphi_1$  max разделить на 6 равных интервалов и дополнительно рассмотреть положение механизма при  $\varphi_1 = 15^\circ$ .

Таблица Ia

Значения момента сопротивления  $M_{C1}$  волях от максимального момента  $M_{C1}$  max в зависимости от положения звена I

$\varphi_1$ , град	0	10	15	20	30	40	50	60
$M_{C1}$	1,00	0,73	0,46	0,22	0	0,22	0,73	1,00
$M_{C1}$ max								

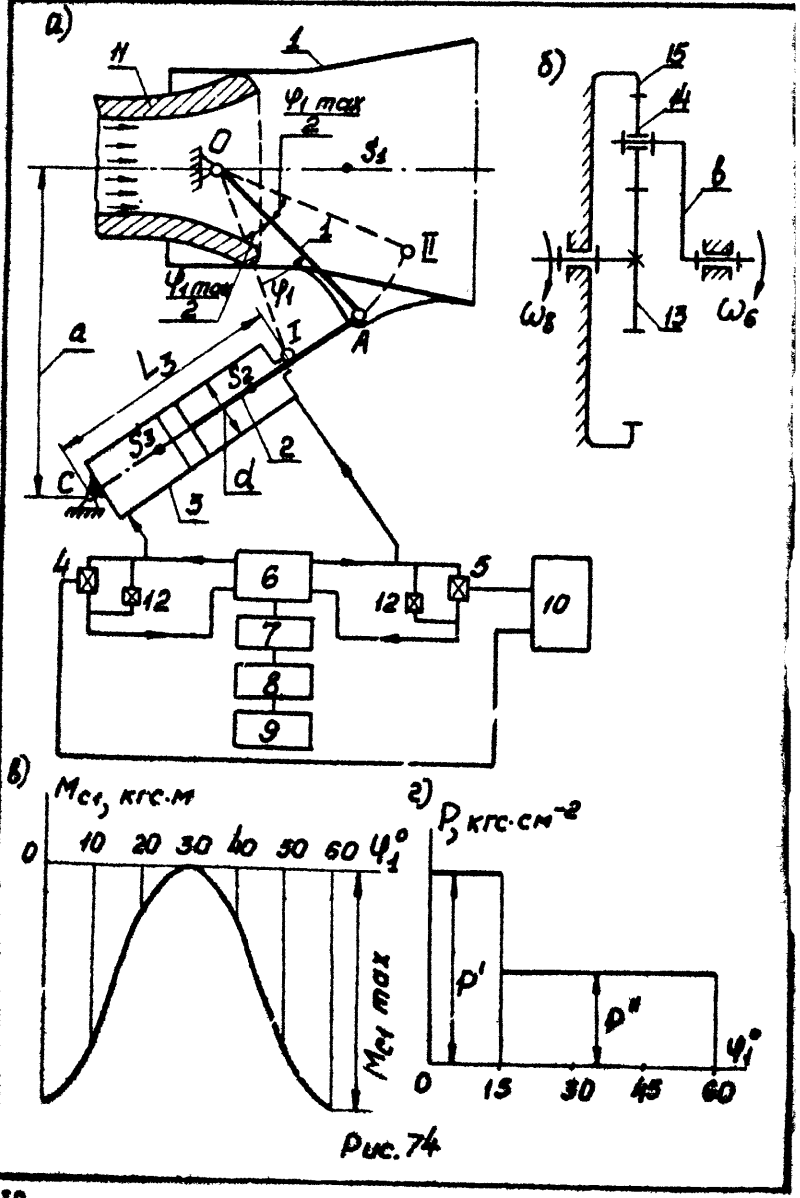


Таблица 74-1

ИСХОДНЫЕ ДАННЫЕ

по пор-	Назначение параметра	Обозна- чение	Размер- ность	Числовые значения для вариантов					
				A	B	V	T	G	D
1	Максимальный угол поворота ра- струбка из положения I в поло- жение II	$\varphi_1 \text{ max}$	град	60	60	60	60	60	60
2	Расстояние между осями качания раструба к гидроцилиндру	$l_{oc}$	м	0,145	0,152	0,164	0,168	0,170	
3	Вертикальная проекция расстоя- ния между осями качания рас- труба и цилиндра	$a$	м	0,138	0,145	0,156	0,160	0,162	
4	Теоретическая длина цилиндра (минимальное расстояние между осами шарниров A и C)	$L_3$	м	0,095	0,098	0,103	0,108	0,110	
5	Отношение теоретической длины цилиндра к ходу поршня	$K_L = \frac{L_3}{H}$		-	1,2	1,2	1,2	1,2	0,38
6	Диаметр цилиндра	$d$	м	0,030	0,032	0,034	0,036	0,038	
7	Отношение расстояния от центра масс $S_4$ раструба до оси кача- ния O <sub>A</sub> к длине звена OA	$\frac{l_{os1}}{l_{oa}}$		-	0,80	0,85	0,90	0,95	0,80
8	Отношение расстояния от центра масс $S_2$ поршня и штока до шар- нира A <sub>C</sub> к теоретической длине цилиндра	$\frac{l_{as2}}{L_3}$		-	0,65	0,70	0,68	0,64	0,72
9	Отношение расстояния от центра масс $S_3$ цилиндра до оси кача- ния C <sub>A</sub> к теоретической длине цилиндра	$\frac{l_{cs3}}{L_3}$		-	0,45	0,48	0,50	0,52	0,54

	1	2	3	$G_1$ кгс	4	5	6	7	8	9
10	Вес раструба			10,2	9,6	10,5	11,0	11,5		
11	Вес поршия со штоком			0,65	0,70	0,74	0,72	0,75		
12	Вес цилиндра			1,50	1,55	1,40	1,45	1,52		
13	Момент инерции раструба относительно оси, проходящей через центр масс $S_1$		$J_{15}$ кгс.м.сек <sup>2</sup>	0,200	0,210	0,185	0,220	0,205		
14	Момент инерции поршия и штока относительно оси, проходящей через центр масс $S_2$		$J_{25}$ кгс.м.сек <sup>2</sup>	0,00004	0,00004	0,00005	0,00005	0,00005		
15	Момент инерции цилиндра относительно оси, проходящей через центр масс $S_3$		$J_{35}$ кгс.м.сек <sup>2</sup>	0,00032	0,00035	0,00040	0,00042	0,00038		
16	Максимальная величина момента сопротивления, приложенного к звену I		$M_{C1}$ кгс.м	90	85	100	106	110		
17	Угловая координата звена I для силового расчёта (рис. 74а)		$\varphi_1$ град	-	10	10	10	10		
18	Числа зубьев колес шестеренчатого насоса		$Z_6$ мм	-	14	15	13	12	11	
19	Модуль зубчатых колес шестеренчатого насоса		$i_{13,6}$ Пл.	3,5	4,0	3,0	4,0	3,0		
20	Передаточное отношение шестеренного редуктора		$K$ - град	-	5	6	8	7	9	
21	Число сателлитов в планетарном редукторе		$\alpha^*$ град	-	3	3	3	3	3	
22	Параметры исходного производственного контура		$h_a^*$ мм	20	20	20	20	20		
			$C^*$ мм	1,0	1,0	1,0	1,0	1,0		
				0,25	0,25	0,25	0,25	0,25		

## ЗАДАНИЕ № 75

## ПРОЕКТИРОВАНИЕ И ИССЛЕДОВАНИЕ МЕХАНИЗМОВ РУЛЕВОЙ МАШИНЫ

Рулевая машина (рис. 75а) предназначена для поворота руля летательного аппарата с целью изменения траектории его полета. Основным механизмом является коромысло-ползунный механизм  $OAB$ , на валу  $O$  которого закреплен руль летательного аппарата. Поворот руля (вместе со звеном I) осуществляется с помощью шатуна 2 ведущим ползуном 3, с которым жестко связан поршень, перемещающийся в цилиндре 4.

Результирующее давление в цилиндре меняется по закону, изображенному на рис. 75в. Величину давления  $p''$  следует определить в процессе динамического исследования коромысло-ползунного механизма.

Подача масла в левую и правую полости цилиндра 4 производится шестеренным насосом 5.

Вращение шестерням насоса передается от электродвигателя 9 через планетарный редуктор 8 (схема редуктора представлена на рис. 75г) и пару зубчатых колес 7 и 6. Вал электродвигателя 9 приводится во вращение от специального источника питания 10.

Регулирование подачи масла в каждую из рабочих полостей цилиндра производится с помощью автомата управления II, воздействующего на клапаны I2 и I3: при необходимости изменения траектории полета аппарата автомат управления II подает сигнал, и соответствующий клапан (I2 или I3) открывается, давая возможность части масла поступать обратно в насос; при этом давление масла в соответствующей полости цилиндра уменьшается.

Предохранительные клапаны I4 служат для сброса избыточного количества масла обратно в насос в случае, если давление в цилиндре 4 превысит расчетное. При повороте руля летательного аппарата (звено I) на угол  $\varphi_{1, \text{max}}$  из одного крайнего положения (I) в другое (II) (рис. 75а) на звено I действует момент сопротивления  $M_{C1}$ , зависимость которого от угла поворота  $\varphi_1$  представлена графиком ( $M_{C1}, \varphi_1$ ) (рис. 75б).

Останов звена I в положении II должен происходить без удара. ( $\omega_{\text{1 кон}} = 0$ ). Проектирование коромысло-ползунного механизма

производится по трем положениям ползуна 3 (известны линейные координаты  $S_{B1}$ ,  $S_{B\bar{1}}$ ,  $S_{B\bar{\bar}{1}}$ ) (рис. 75д), величине эксцентрикитета  $e$ , углам отклонения  $(\varphi_B - \varphi_I)$  и  $(\varphi_{\bar{B}} - \varphi_I)$  звена I от его начального положения (положение  $OA_I$ ). При проектировании следует определить длины звеньев I и 2 и угол  $\varphi_I$ , характеризующий начальное положение звена I относительно стойки.

В механизмах управления рулевой машиной отсутствует кулачковый механизм, проектирование которого провести по дополнительному заданию.

При проектировании и исследовании механизмов рулевой машины считать известными параметры, приведенные в табл. 75-1.

Примечания: 1. При исследовании основного механизма угол максимального поворота  $\varphi_I \max$  ведомого коромысла I разделить на 6 равных интервалов.

2. Центры масс звеньев I и 3 совпадают соответственно с точками О и В.

3. Геометрический расчёт эвольвентной зубчатой передачи выполнить для колес 6 и 7.

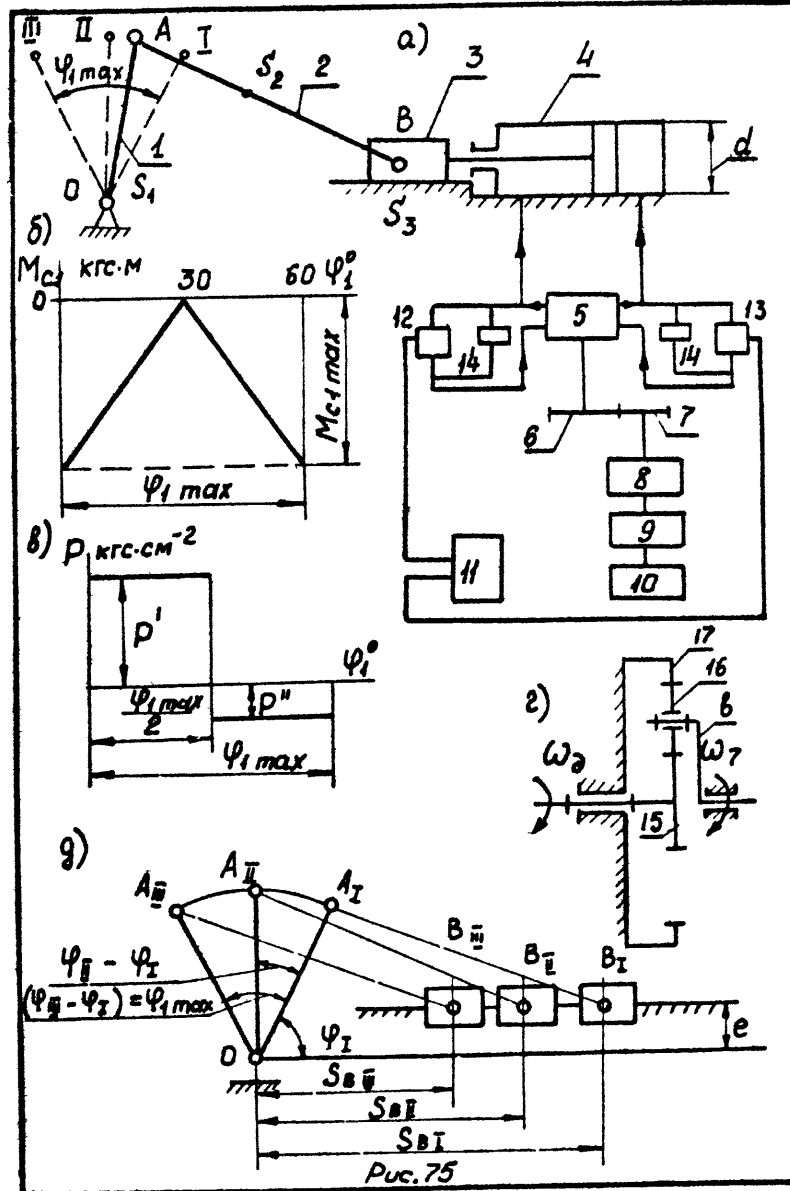


Таблица №-1

## ИСХОДНЫЕ ДАННЫЕ

№ пор. нор.	Наименование параметра	Обозна- чение	размер- ность	Числовые значения для вариантов				
				А	Б	В	Г	Д
1	2		3	4	5	6	7	8
1	Линейные координаты точки В нагрузки 3	$S_{\delta T}$ $S_{\delta \bar{T}}$ $S_{\delta \bar{U}}$	м	0,344 0,224 0,134	0,372 0,248 0,120	0,322 0,207 0,134	0,362 0,230 0,134	0,355 0,248 0,145
2	Углы поворота звёздного коромыс- ла 1 по отношению к его началу и ней (I) положению	$\psi_{II} - \psi_I$ $\psi_{III} - \psi_I$	град	30 60 0,08	30 60 0,08	30 60 0,08	30 60 0,08	30 60 0,08
3	Задеяентризитет	$e$	м					
4	Отстояние расстояния от точки A до центра масс $S_2$ нагрузки 2	$L_{AS2}$ $L_{AB}$	м	- 0,33 12 2,7 3,6	0,35 15 2,9 3,8 4,0	0,32 10 3 4,0 4,2	0,33 16 3,2 4,2 4,4	0,34 18 3,4 4,4 4,4
5	Веса звеньев: коромысла I нагрузки 2	$G_1$ $G_2$ $G_3$	кгс					
6	Моменты инерции звеньев отно- сительно осей, проходящих че- рез их центры масс: звено 1 звено 2	$J_{1S}$ $J_{2S}$ $d$	кгс.м.сек <sup>2</sup>	0,058 0,052 0,036	0,060 0,054 0,036	0,065 0,050 0,036	0,060 0,058 0,036	0,062 0,060 0,036
7	Диаметр цилиндра							
8	Результатирующее давление в ци- линдре 4 при повороте звена 1 из положения $OA_1$ в положение $OA_1$ (рис. №1)	$p'$	кгс/см <sup>2</sup>	110	100	95	110	105

Продолжение табл.

1	2	3	4	5	6	7	8	9
9	Максимальная величина момента сопротивления, приложенного к звено 1	$M_{C1}$ max	кгс.м	180	$\varphi_I + 10^0$	190	150	180
10	Угловая координата звена 1 для силового расчёта (рис. №1)	$\psi_1$	град	-	20	17	18	17
11	Число зубьев колес 6 и 7	$Z_6$ $Z_7$	мм	-	14 2,5	15 2,5	12 2,5	14 2,5
12	Модуль зубчатых колес 6 и 7	$i_{15-6}$	-	4	4,5	5,5	5	3,5
13	Передаточное отношение планет- арного редуктора	$K$	-	3	3	3	3	3
14	Число сателлитов в планетарном редукторе	$\alpha^*$ $h^*$ $C^*$	град	20° 1 0,25	20° 1 0,25	20° 1 0,25	20° 1 0,25	20° 1 0,25
15	Параметры исходного произво- дящего контура							

## ЗАДАНИЕ № 76

### ПРОЕКТИРОВАНИЕ И ИССЛЕДОВАНИЕ МЕХАНИЗМОВ РУЛЕВОЙ МАШИНЫ С КРУГОВЫМ ЦИЛИНДРОМ

Рулевая машина предназначена для поворота руля летательного аппарата с целью изменения траектории полета. Схема механизма рулевой машины представлена на рис.76а. Основным механизмом является двухкоромысловый четырехзвенник OABC (звенья I,2,3).

Вал электродвигателя 8 приводится во вращение от источника питания 9 (специального типа). Движение от электродвигателя через планетарный редуктор 7 (схема редуктора изображена на рис. 76в) передается одной из двух одинаковых шестерен маслячного насоса 6, подающего масло в рабочие полости цилиндра I, который жестко связан со звеном OA основного механизма рулевой машины. Регулировка подачи масла в каждую из рабочих полостей цилиндра производится с помощью автомата управления 10, воздействующего на клапаны 4 и 5: при необходимости изменения траектории полета с автомата управления подается сигнал и один из клапанов (4 или 5) открывается; при этом часть масла по трубопроводам поступает обратно в шестеренный насос, давление в соответствующей полости цилиндра падает и цилиндр поворачивается вокруг оси O вместе со звеном OA (звено I). Движение от ведущего звена I через шатун передается ведомому коромыслу 3, на валу которого закреплен руль летательного аппарата.

Если давление в полостях цилиндра превысит расчетное, то происходит сброс масла в полость шестеренного насоса через предохранительные клапаны II.

При повороте руля летательного аппарата (звено 3) из одного крайнего положения (I) в другое (II) (рис.76а) на угол  $\gamma_{max}$  на звено 3 действует момент сопротивления  $M_{C3}$ , зависимость которого от угла поворота  $\gamma$  представлена диаграммой (рис. 76б). Давящая сила, равная результирующей силе давления масла в круговом цилиндре, приложена в точке D звена OA ( $L_{OD} =$

$= \frac{1}{2} L_{OA}$ ). Результирующее давление в цилиндре I меняется по закону, изображенному на рис.76г. Останов звена 3 в конечном положении должен происходить без удара ( $\omega_3 \text{КОМ} = 0$ ).

Синтез основного механизма производится по трем положениям

ведомого коромысла 3 относительно стойки (углы  $\delta_1$ ,  $\delta_2$ ,  $\delta_3$ ), заданным длинам коромысла 3 ( $L_{AC}$ ) и стойки ( $L_{AC}$ ), ориентировочным значениям углов отклонения ( $\varphi_1 - \varphi_2$ ) и ( $\varphi_2 - \varphi_3$ ) ведущего коромысла I от его начального положения (положение  $OA_1$ ) (рис.76д). При проектировании следует определить длины звеньев I и 2 и угол  $\varphi_1$ , характеризующий начальное положение коромысла I относительно стойки.

При проектировании и исследовании механизмов рулевой машины считать известными параметры, приведенные в табл.76-1.

В механизмах управления рулевой машины с круговым цилиндром отсутствует кулачковый механизм. Проектирование кулачкового механизма провести по дополнительному заданию.

Примечания: 1. При исследовании основного механизма угол максимального поворота  $\varphi_{1max}$  ведущего коромысла I, полученный при проектировании основного механизма, разделить на 6 равных интервалов.

2. При силовом расчёте основного механизма центры масс звеньев I и 2 принять посередине их длии.

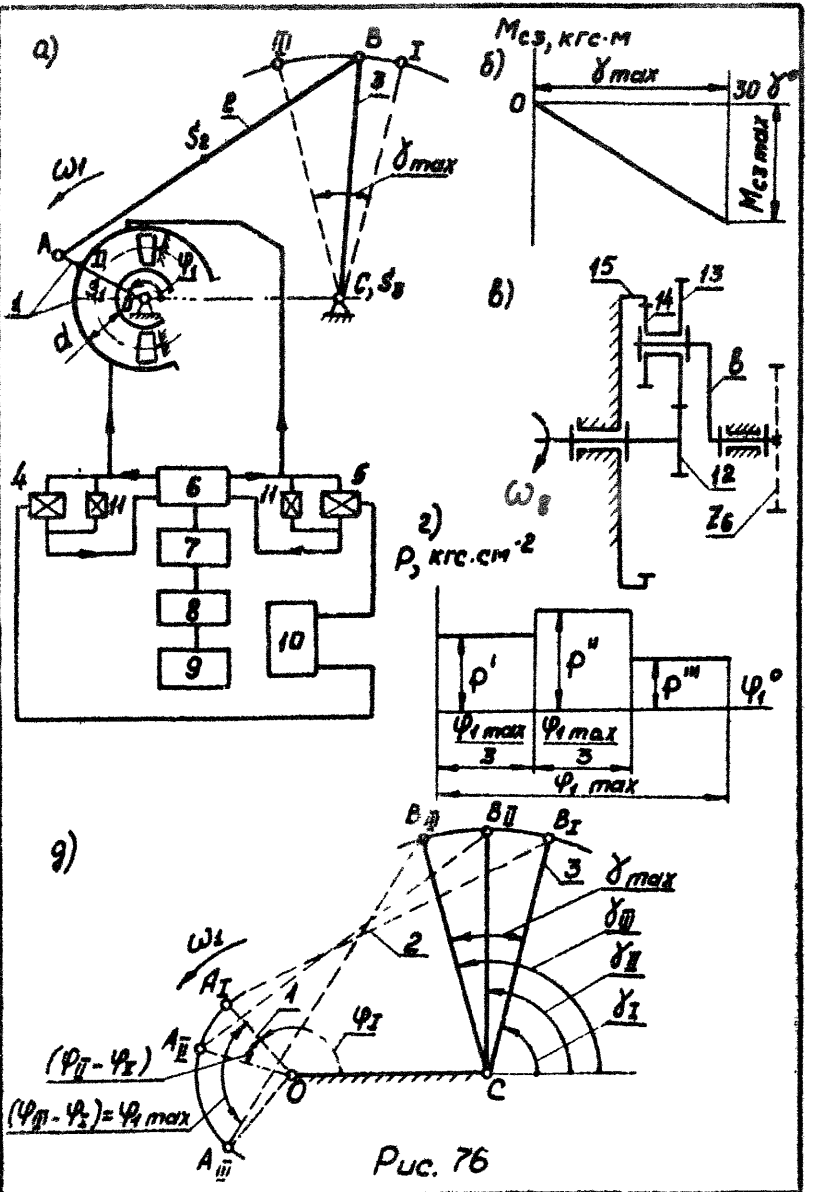


Рис. 76-1

**ИСХОДНЫЕ ДАННЫЕ**

Но.	Наименование параметра	Обозна- чение	Размер- ность	Числовые значения для вариантов				
				A	B	V	G	Г
1	1 Угловое координаты звездочета 3	$\varphi_I$ $\varphi_{II}$ $\varphi_{III}$	град	75	75	75	75	75
	2 Углы возврата звездочета коромыст на 1 по отношению к его началь- ному положению	$(\varphi_I - \varphi_I')$ $(\varphi_{II} - \varphi_{II}')$ $(\varphi_{III} - \varphi_{III}')$	град	90	90	105	90	105
	3 Длина стойки	$L_{DC}$	м	30	30	30	30	30
	4 Длина звездочета 3	$L_{BC}$	м	0,09	0,10	0,10	0,10	0,10
	5 Веса звездочек:							
	коромыста 1 с пружинами приви- том	$G_1$	кгс	5,0	5,2	5,0	5,4	5,5
	натяга 2	$G_2$	кгс	2,1	2,2	2,1	2,3	2,3
	коромыста 3	$G_3$	кгс	3,6	3,4	3,8	3,7	3,4
	6 Момент инерции звездочек относи- тельно оси, проходящей через центр масс: звезда 1	$J_{1S}$	кгс·м <sup>2</sup>	0,0014	0,0018	0,0015	0,0020	0,0022
	звезда 2	$J_{2S}$	кгс·м <sup>2</sup>	0,00055	0,00045	0,00072	0,00065	0,00082
	звезда 3	$J_{3S}$	кгс·м <sup>2</sup>	0,001	0,0012	0,0012	0,0011	0,0009
	7 Диаметр цилиндра	$d'$	м	0,03	0,032	0,034	0,032	0,034
	8 Результатирующее давление в кру- глом цилиндре	$P'$	кгс/см <sup>2</sup>	190	185	170	160	150
			кгс/см <sup>2</sup>	120	130	120	100	100

## ЗАДАНИЕ № 77

## ПРОЕКТИРОВАНИЕ И ИССЛЕДОВАНИЕ МЕХАНИЗМОВ РУЛЕВОГО ГИДРОПРИВОДА

Продолжение табл. 76-1									
2	3	4	5	6	7	8	9	10	11
9	Максимальная величина момента сопротивления, приложенного к звену 3	$(M_c)_{\text{ям}}$	кгс·м	130	135	140	155	$\varphi_1 + 45^\circ$	$\varphi_2 + 45^\circ$
10	Угловая координата звена I для силового расщепа	$\varphi_1$	град	-	12	11	10	12	II
11	Число зубьев колес шестеренчатого насоса	$Z_6$	мм	-	8	9	8	10	8
12	Модуль зубчатых колес шестеренчатого насоса	$m$	мм	-	16	13	15	17	15
13	Передаточное отношение планетарного редуктора	$i_{n_2-n}$	-	-	3	3	3	3	3
14	Число сателлитов в планетарном редукторе	$K$	град	-	20	20	20	20	20
15	Параметры исходного пронизывающего контура	$\alpha^*$	$h_a$	-	1	1	1	1	1
					0,25	0,25	0,25	0,25	0,25

Гидравлический привод (рис. 77а) преобразует электрический сигнал управления в требуемое движение руля высоты летательного аппарата; он состоит из электродвигателя 5, планетарного редуктора 6-7-8-9, шестеренного насоса 9-10, гидродвигателя (гидроцилиндра) с рычажным (коромыслово-ползунным) механизмом I-2-3-4 и золотникового устройства II, регулирующего давление и расход жидкости в цилиндре 4.

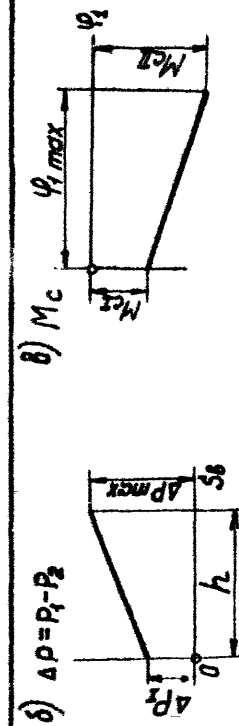
При перемещении (по сигналу управления) золотника II из среднего (нейтрального) положения вправо рабочая жидкость magnetается насосом по напорной гидролинии I2 через открытые рабочее (дросселирующее) окно в левую полость цилиндра, а из правой полости по гидролинии I3 сливается в бак I4, откуда опять поступает в насос; поршень 3 перемещается вправо под действием перепада давлений  $\Delta P = P_1 - P_2$  рабочей жидкости в цилиндре. При движении управляющего золотника из среднего положения влево поршень 3 также перемещается влево.

График зависимости перепада давлений в гидроцилиндре от перемещений поршня  $\Delta P = \Delta P(S_B)$  (в пределах от 0 до максимальной величины  $S_B \max = h$ ) дан на рис. 77б; величина начального перепада давлений  $\Delta P_1$  должна быть определена по условию безударного останова механизма после поворота руля на заданный угол

$\varphi_1 \max$  из положения I в положение II. Руль жестко связан с выходным звеном I рычажного механизма; нагрузка на него задана в виде зависимости момента сопротивления от угла поворота  $M_c = M_c(\varphi_1)$  на рис. 77в.

При проектировании и исследовании механизмов гидропривода считать известными параметры, приведенные в табл. 77-1.

В рулевом гидроприводе отсутствует кулачковый механизм, проектирование которого провести по дополнительному заданию.



a)

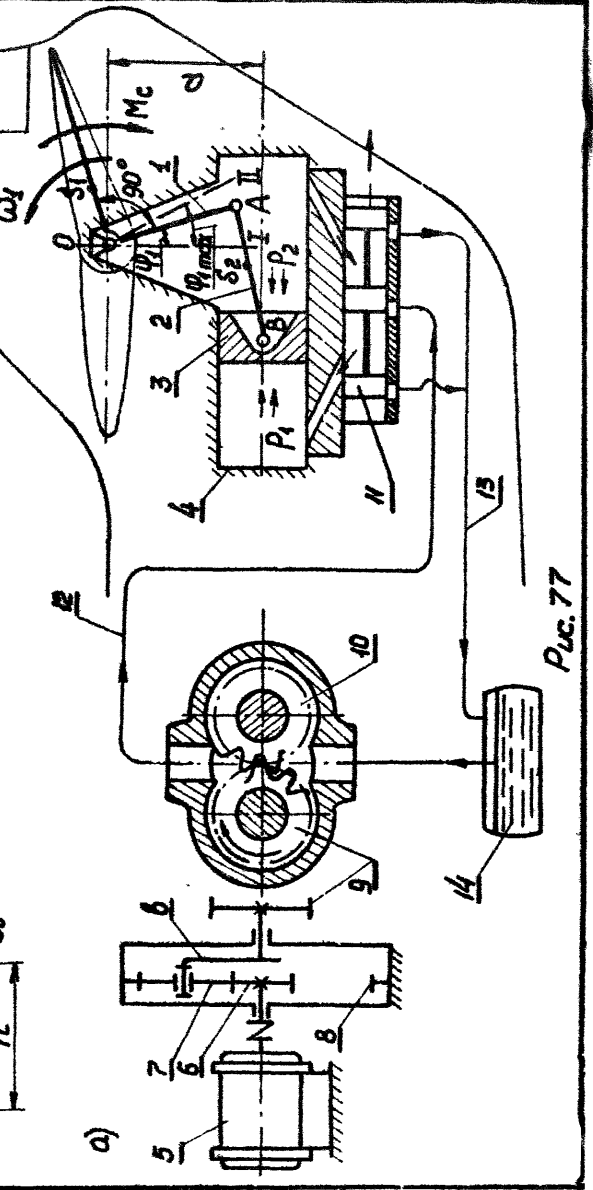


Рис. 77

## ИСХОДНЫЕ ДАННЫЕ

№ пор. по пор.	Наименование параметра	Обозна- чение	Размер- ность	Числовые значения для вариантов						
				A	B	C	D	E	F	
I	1 Наклонный угол поворота звена I (рис. 77а)	$\varphi_1 \text{ max}$	град	3	4	5	6	7	8	9
	2 Ход поршня, соответствующий величине $\varphi_{1, \text{max}}$	$h$	м	0,035	0,040	0,045	0,050	0,055	0,060	0,065
	3 Отношение длии звеньев	$l_{AB} / l_{AC}$	-	1	1,15	1,20	1,25	1,30	1,35	1,40
	4 Диаметр цилиндра 4	$d$	мм	0,032	0,034	0,036	0,038	0,040	0,042	0,045
	5 Вес звеньев I, 3	$G^1$ $G^3$	кгс	0,22	0,26	0,30	0,35	0,42	0,50	0,58
	6 Вес единицы длины звена 2	$q$	кг/м	0,07	0,075	0,080	0,085	0,090	0,095	0,100
	7 Расстояние от оси звездочки 1 до центра масс звена I	$l_{O1I}$	м	0,10	0,12	0,13	0,14	0,15	0,16	0,17
	8 Относительное расстояние от точки A до центра масс звена 2	$l_{A22} / l_{AB}$	-	0,4	0,4	0,5	0,5	0,5	0,5	0,5
	9 Момент инерии звена 1 относительно оси, проходящей через его центр масс	$J_{13}$	кгс·м·сек <sup>2</sup>	0,20	0,25	0,28	0,30	0,32	0,35	0,38
	10 Наклонный перенос давления в цилиндре (в положении II механизма)	$A \text{ max}$	мм	200	180	160	140	120	100	80
	II Момент сопротивления, приложенний к звено I: в положении I в положении II	$M_{ci}$ $M_{ciII}$	кгс·м	50	40	30	20	10	60	200
12	Угловая скорость механизма	$\varphi_1$	град/с	25	10	20	5	20	5	20

Таблица 77-4

	2	3	4	5	6	7	8	9
13	Число зубьев колес 9, 10	$Z_9 = Z_{10}$	-	9	9	10	10	12
14	Модуль зусчатых колес 9, 10	$m$	мн	4	3,5	4,5	5	5
15	Число оборотов вала электродвигателя	$n_{ed}$	об/мин	3000	3000	2800	2800	3000
16	Число оборотов выходного вала редуктора	$n_{rb}$	об/мин	800	850	700	750	900
17	Число сателлитов редуктора	$K$	-	3	3	3	2	2
18	Параметры исходного производящего контура	$h_A^*$	-	1,0	1,0	1,0	1,0	1,0
		$C^*$	-	0,25	0,25	0,25	0,25	0,25
		$\alpha$	град	20	20	20	20	20

- Примечания:
1. При проектировании рычажного механизма размер  $a$  определять из условия минимальной величины угла давления, принимая угол поворота звена I равным  $\pm \varphi_{1\max}$ .
  2. Момент инерции  $J_{23}$  звена 2 подсчитывать по формуле  $J_{23} = \frac{mL^2}{10}$ , где  $m$  — масса звена,  $L$  — длина звена.
  3. При определении закона движения рычажного механизма угол  $\varphi_{1\max}$  разделять на интервалы  $\Delta\varphi_1 = 5^\circ$ .

## ЗАДАНИЕ № 78

## ПРОЕКТИРОВАНИЕ И ИССЛЕДОВАНИЕ МЕХАНИЗМОВ МАССИ

Масси служит для передвижения летательного аппарата по земле при разбеге перед взлетом, пробеге после посадки.

Основным силовым звеном масси является амортизационная стойка I (рис. 78а), связывающая колесо 6 с конструкцией летательного аппарата. Во внутренней полости стойки имеется амортизатор, который поглощает часть кинетической энергии при приземлении.

Выпуск и уборка амортизационной стойки промаводится гидроподъемником, состоящим из цилиндра 3 и поршня со штоком 2. Подача жидкости в рабочие полости цилиндра производится гидравлическим насосом II, приводимым в движение от электродвигателя 7 через пару зубчатых колес 8 и 9 и планетарный редуктор IO. Схема планетарного редуктора представлена на рис. 78б. Гидравлический насос кулачкового типа (рис. 78в) состоит из дискового кулачка 16, закрепленного на валу водила редуктора, и плунжера (толкателя); осуществляющего подачу жидкости в цилиндр гидроподъемника. Закон изменения ускорения плунжера представлен на рис. 78г.

Звенья 4 и 5 механизма масси (так называемый "ломающийся подкос") увеличивают жесткость масси в выпущенном положении. Для фиксации амортизационной стойки в конечных положениях имеются специальные замки (например, звено ЕН, рис. 78а).

При уборке масси амортизационная стойка I поворачивается из одного крайнего (вертикального) положения (I) в другое (II), на угол  $\varphi_{1\max}$  (рис. 78а). При этом на механизм масси действуют силы сопротивления воздуха, зависящие от скорости полета, плотности и других факторов. Равнодействующую силу сопротивления приближенно можно вычислять по формуле

$$P_{c1} = P_c \cos \varphi_1,$$

где  $P_c$  — сила сопротивления воздуха в выпущенном положении масси;

$\varphi_1$  — угол поворота стойки I, отсчитываемый от начального положения I по часовой стрелке.

Равнодействующая сила сопротивления параллельна продольной

оси летательного аппарата: если уборка шасси происходит при горизонтальном направлении полета, то линия действия силы  $P_c$ , горизонтальна. Приближенно можно считать, что сила  $P_c$ , приложена в центре колеса (точка К). При повороте амортизационной стойки из положения I в положение II результирующее давление  $p = p' + p''$  в гидроцилиндре подъемника принять постоянным. Силы трения в кинематических парах механизма шасси приближенно могут быть оценены суммарным приведенным к звену I моментом трения  $M_{tp}^{np}$ , не зависящим от положения амортизационной стойки. При расчёте следует учитывать массы наиболее тяжелых звеньев — стойки I, матуна 4 и колеса 6.

При проектировании и исследовании механизмов шасси считать известными параметры, приведенные в табл. 78-1.

**Примечания:** 1. При проектировании механизма гидроподъемника (при определении длины звена OA) (рис. 78а) необходимо обеспечить в крайних положениях механизма равенство плеч  $\Delta$  движущей силы, действующей на звено I (в направлении оси гидроподъемника), относительно точки О. Диаметр  $d$  поршня следует определить из условия, что в начальном (I) положении механизма приведенный движущий момент должен на 10% превышать суммарный приведенный момент сопротивления, состоящий из приведенного момента от силы  $P_c$ , и приведенного момента трения

$$(M_{\theta}^{np})_I = 1,1 \left[ (M_c^{np})_I + M_{tp}^{np} \right].$$

2. При определении закона движения механизма угол  $\varphi_{max}$  разделить на 6 равных интервалов.

3. При подсчёте приведенного момента инерции колеса 6 массу колеса считать сосредоточенной в точке К.

4. Геометрический расчёт эвольвентной зубчатой передачи выполнить для колес 8 и 9.

Параметры исходного производящего контура:  $\alpha = 20^\circ$ ,  $A_2 = 1$ ,  $C^* = 0,25$ .

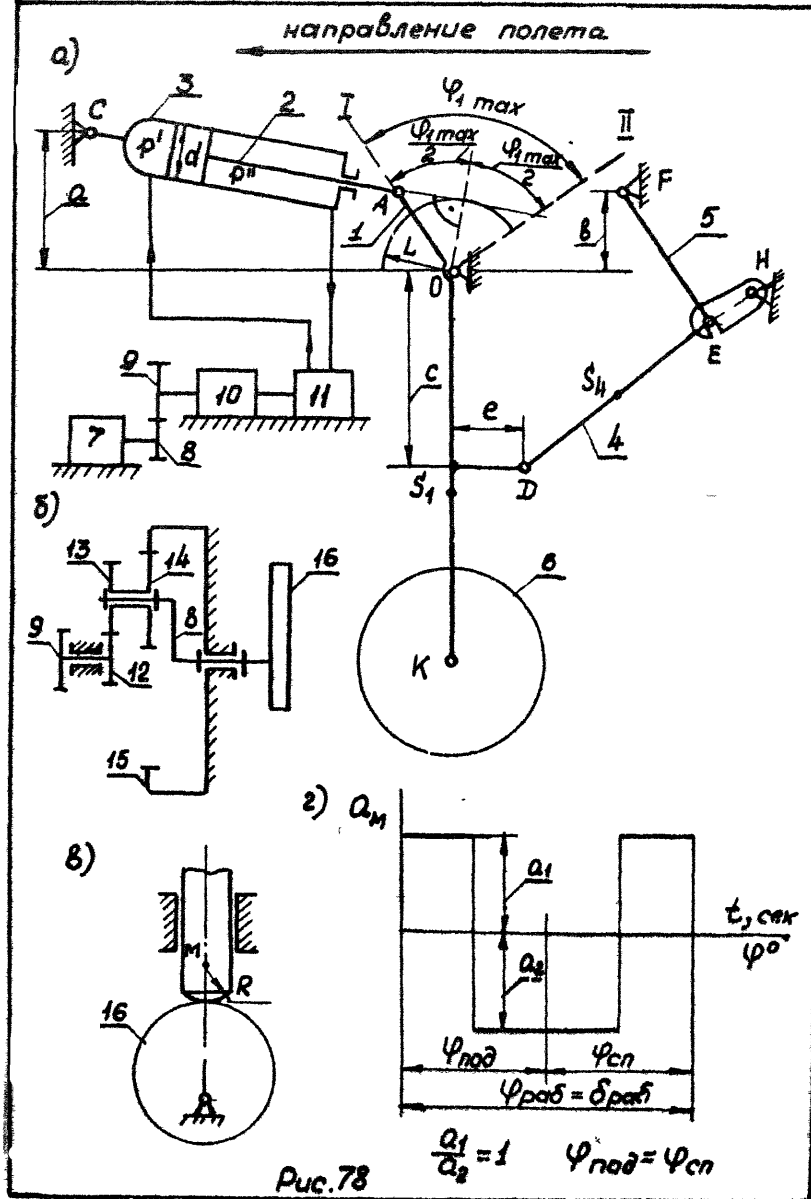


Рис. 78

Таблица 78-1

## ИСХОДНЫЕ ДАННЫЕ

№ по пор-	Наименование параметра	Обоз- значение	Размер- ность	Числовые значения для вариантов				
				А	Б	В	Г	Д
1	2	3	4	5	6	7	8	9
1	Максимальный угол поворота амортизационной стойки I	$\varphi_{\max}$	град	90	90	90	90	90
2	Расстояние между осьми поворота стойки I и гидроцилиндра З стойки I и колеса 6	$L_{os}$ $L_{ok}$ $L_{of}$	м	1,10 1,90 0,30	1,15 2,00 0,32	1,25 2,10 0,34	1,20 1,95 0,30	1,20 2,05 0,35
3	Вертикальная проекция межосевого расстояния $L_{os}$	$a$	м	0,44	0,42	0,46	0,40	0,42
4	Вертикальная проекция межосевого расстояния $L_{of}$	$b$	м	0,10	0,12	0,14	0,11	0,13
5	Координаты вершины D	$c$ $e$ $f$	м	0,75 0,12 0,93	0,70 0,10 0,95	0,65 0,12 0,96	0,60 0,14 0,90	0,60 0,15 0,92
6	Длина шагуна 4	$L$	м	0,50	0,52	0,54	0,51	0,55
7	Длина коромысла 5	$P_c$	кгс	400	450	480	430	470
8	Плечо длинущей силы подъемника в краинном положении механизма (з выпущенном и убранным положениях массы, рис. 78а)	$M_{tr}^p$	кгс·м	40	40	42	41,5	46,5
9	Сила сопротивления воздуха в выпущенном положении массы приводленный к звену I момент сил трения в звенах 3 гидроподъемника	$R$	кгс/см <sup>2</sup>	44	52	58	48	55
10	II							

I	2	3	4	5	6	7	8	9	продолжение табл. тб-1		
									$\frac{\rho_{esf}}{\rho_{ok}}$	$\frac{\rho_{esf}}{\rho_{eo}}$	
12	Отношение, определяющее положение центра масс амортизационной стойки I	$n_1$	град	15	15	15	15	15	15	15	15
13	Отношение, определяющее положение центра масс матуна 4	$n_2$	об/мин	6000	4320	5400	4480	5320	5320	5320	5320
14	Вес колеса 6	$n_3$	об/мин	150	120	180	140	190	190	190	190
15	Вес матуна 4	$n_4$	об/мин	60	70	75	65	72	72	72	72
16	Момент инерции относительно осей, проходящих через центры масс звена 1 для звена 4	$J_{es}$ $J_{es}$	кгс·м·сек <sup>2</sup> кгс·м·сек <sup>2</sup>	7,2 0,52	9,1 0,63	11,0 0,69	8,3 0,53	9,7 0,60	9,7 0,60	9,7 0,60	9,7 0,60
17	Угловая координата звена 1 для силового расчета	$\eta_1$	град	15	15	15	15	15	15	15	15
18	Число оборотов электродвигателя	$n_7$	об/мин	6000	4320	5400	4480	5320	5320	5320	5320
19	Число оборотов кузовца	$n_8$	об/мин	150	120	180	140	190	190	190	190
20	Максимально допустимый угол давления в кулачковом механизме	$\alpha_{for}$	град	30	28	27	28	29	29	29	29
21	Ход толкателя кулачкового механизма	$\delta_{pad}$	м	0,015	0,013	0,012	0,014	0,015	0,015	0,015	0,015
22	Угол рабочего профиля кулачка	$Z_6$ $Z_9$	град	360 —	360 —	360 —	360 —	360 —	360 —	360 —	360 —
23	Число зубьев колес 8 и 9	$n_7$	мм	12 24	18 26	14 28	14 28	15 22	15 22	15 22	15 22
24	Модуль зубчатых колес 8 и 9	$K$	—	2,0	2,5	3,0	2,0	2,0	2,0	2,0	2,0
25	Число сателлитов в планетарном редукторе		—	3	3	3	3	3	3	3	3

## ОБЪЕМ И СОДЕРЖАНИЕ КУРСОВОГО ПРОЕКТА

### Лист 1. Проектирование основного механизма и определение закона его движения

1. Определение основных размеров звеньев механизма по заданным условиям.

2. Определение закона движения механизма при неустановившемся режиме (построение диаграмм изменения угловой скорости и углового ускорения звена приведения за время работы механизма).

3. Построение диаграммы времени движения.

Примечания: 1. Веса звеньев механизма и их моменты инерции даны ориентировочно.

2. Звенья, веса и моменты инерции которых не заданы, считать невесомыми.

### Лист 2. Силовой расчёт основного механизма

1. Определение углового ускорения звена приведения по уравнению движения в дифференциальной форме в заданной положении механизма. Определение линейных ускорений центров тяжести и угловых ускорений звеньев.

2. Построение картины силового нагружения механизма.

3. Определение сил в кинематических парах механизма.

4. Оценка точности расчётов, выполненных на 1-м и 2-м листах проекта, по уравнению моментов, составленному для звена приведения.

### Лист 3. Проектирование зубчатой передачи и планетарного редуктора

1. Выполнение геометрического расчёта эвольвентной зубчатой передачи при нарезании колес инструментом со стандартным исходным производящим контуром ( $\alpha = 20^\circ$ ,  $h_a^* = 1$ ,  $C^* = 0,25$ ).

2. Построение схемы стакочного зацепления при нарезании колеса с меньшим числом зубьев и профилирование зуба (зубчатый галтель) методом огибания.

3. Вычерчивание схемы зацепления колес с указанием основных размеров и элементов колес и передачи.

4. Проектирование планетарного редуктора (выбор числа зубьев) по заданному передаточному отношению его и числу сателлитов. Допустимое отклонение  $i_{reg} \pm 5\%$ . Колеса планетарного редуктора нулевые; модуль колес принять равным единице.

5. Построение треугольников линейных скоростей звеньев передачи планетарного редуктора. Проверка передаточного отношения редуктора аналитическим способом.

Примечание. При проектировании зубчатой передачи шестеренного насоса (задания №№ 74, 76, 77) с целью уменьшения вредного влияния замедленных объемов жидкости рекомендуется обеспечить величину коэффициента перекрытия в пределах  $\varepsilon = 1,01 \div 1,05$ .

### Лист 4. Проектирование кулачкового механизма

1. Построение кинематических диаграмм движения толкателя (ускорения, скорости, перемещения) по заданному закону изменения ускорения толкателя.

2. Определение основных размеров кулачкового механизма наименьших габаритов с учетом максимально допустимого угла давления  $\delta_{max}$ .

3. Построение профиля кулачка (центрового и конструктивного).

4. Построение диаграммы изменения угла давления в функции угла поворота кулачка.

**Дополнительное задание:**  
ПРОЕКТИРОВАНИЕ КУЛАЧКОВОГО МЕХАНИЗМА

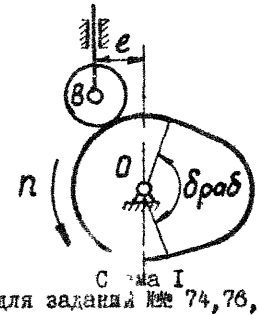


Схема I  
(для заданий №№ 74, 76, 77)

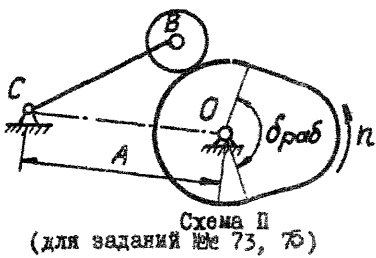
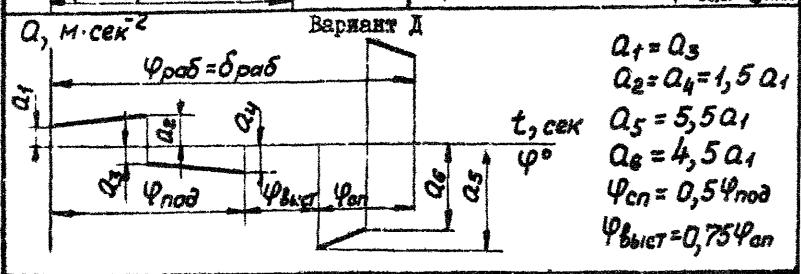
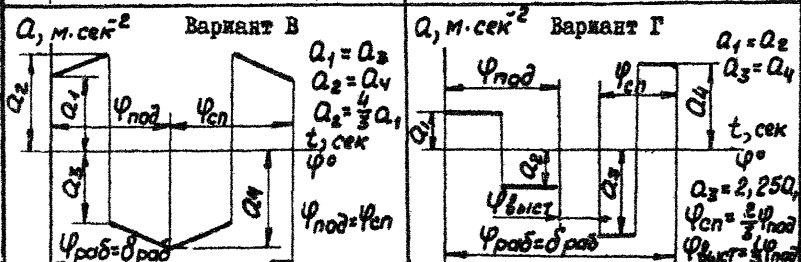
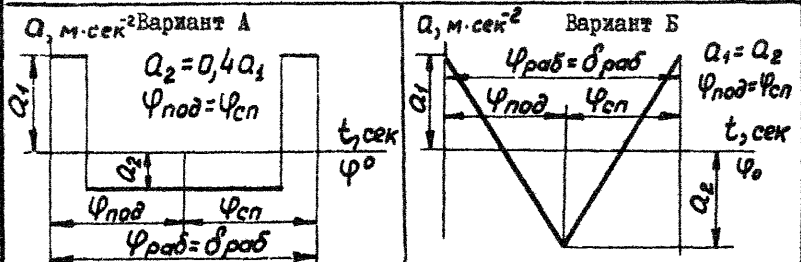


Схема II  
(для заданий №№ 73, 76)

Законы изменения ускорения точки В толкателя



Исходные данные для схемы I

Нр.	Наименование параметра	Обозна- чение	Размер- ность	Числовые значения для вариантов			
				A	B	V	T
1	Число оборотов кулачка	$n$	об/мин	350	380	200	250
	2 Угол рабочего профиля кулачка	$\delta_{раб}$	град	180	130	150	170
	3 Внешность толкателя	$e$	м	0,020	0,030	0	0,010
	4 Ход толкателя	$l$	м	0,040	0,045	0,025	0,030
	5 Максимально допустимый угол давления в кулачковом механизме	$\alpha_{под}$	град	2,5	28	29	30

Исходные данные для схемы II

Нр.	Наименование параметра	Обозна- чение	Размер- ность	Числовые значения для вариантов			
				A	B	V	T
1	Число оборотов кулачка	$n$	об/мин	600	500	450	550
	2 Угол рабочего профиля кулачка	$\delta_{раб}$	град	170	162	155	140
	3 Доренажные гранатели (пере- менне точки В)	$l$	м	0,024	0,036	0,032	0,026
	4 Длина рябата толкателя	$e$	м	0,075	0,112	0,100	0,090
	5 Максимально допустимый угол давления в кулачковом механизме	$\alpha_{под}$	град	32	34	35	33

## СОДЕРЖАНИЕ

Задание № 73. Проектирование и исследование механизмов управления летательного аппарата с уголковыми соплами .....	5
Задание № 74. Проектирование и исследование механизмов управления летательного аппарата с качающимся раструбом .....	8
Задание № 75. Проектирование и исследование механизмов рулевой машины .....	18
Задание № 76. Проектирование и исследование механизмов рулевой машины с круговым цилиндром .....	18
Задание № 77. Проектирование и исследование механизмов рулевого гидропривода .....	23
Задание № 78. Проектирование и исследование механизмов ходовой части .....	27
Объем и содержание курсового проекта .....	82
Дополнительное задание: Проектирование кулачкового механизма .....	34